

Stratégie de concours :

- 1) J'ai fait la lecture rapide complète ; ai repéré 1 question ouverte avec beaucoup de doc. (les seuls que je ne lis pas tout de suite)
J'ai également repéré 6 questions de cours (ouf) variées → dipôle électrique, mécanique (oscillations), e.m., laser, optique
- 2) Compte tenu du nombre de questions, j'calcule 3 questions / 15 minutes
C'est chaud ! Cela veut dire qu'il faut déjà bien faire le cours et passer peu de temps quand on ne sait pas du tout.
- 3) Voici le timing. (je me l'indique ^{au fur et à mesure des questions que je traite} sur une feuille à part)
- de 1 à 9 : 30'
 - 10 à 14 : 30' mais p12 : au bout de 5' je n'arrive pas
 - 15 à 20 : 15' mais je sèche sur 15 ; je décide de ne pas m'y attarder
 - 21 à 25 : 30' mais 24 pas sûr ^{mais je note "pas faite"}
 - 26 : je décide d'emblé de passer donc j'ne lis aucun document
 - 27 à 35 : 30' mais 33 et 34 pas faites
 - 36 : 15'
 - 37 à 47 : 30' mais 46 non faites et 42 avec résultat aberrant
- Total : 3 heures
- 4) Je décide de revenir aux questions laissées en suspens, dans l'ordre
- 12 : je vois bien qu'il faudrait une énergie en $\frac{1}{x^6}$ mais j' bloque sur $\frac{dE_i}{dx}$ qui semble aboutir à du $\frac{1}{x^4}$ je me dis qu'il faut trouver un facteur $\frac{1}{x^2}$ en plus. Je finis par penser que p_i n'est pas constant mais dépend du champ puisqu'il inclut et là ça se débloque
- 15 : je raconte ce que je sais mais sans satisfaction (cette question n'a pas 6g de poids de toute façon)
- 24 : Alors là je crois déliter mais tant pis, j'écris ce que je pense avec le cours que j'connais notamment en optique (là aussi cette question n'a pas 6g de poids)
- 33 et 34 : Je m'interroge sur Florent ; veulent-ils ou non \vec{F}_{mg} ?
Alors que l'énoncé précise "magnétisme négligé"
Je vois bien que $\langle \vec{F}_{el} \rangle = \vec{0}$ et que \vec{F}_{mg} en $\vec{r} \wedge \vec{B}$ a une chance de présenter une moindre non nulle du par le produit $r.B$ puisque r et B oscillent.

mais j'étais confrontée à une bête erreur de calcul
du déphasage, eh oui, j'avais d'abord déduit
 $\varphi = 0$ ou - π de $\tan \varphi \rightarrow \infty$. Ça me donnait
du vB en sincos donc $\langle \sin \cos \rangle = 0$ raté !
Et quand j'ai vu l'erreur, que $\varphi = -\frac{\pi}{2}$ alors là aussi
ça a débloqué la situation. Cela dit je me suis énervée
sur cette question.

42 J'avais commencé par faire des dérivées $\frac{dI}{dr} \frac{dI}{dz}$

Je suis donc revenue sur le principe de simplification max.
Y a t'il moyen de s'en sortir sans dériver ? Oui
si on se rappelle le lien entre E_p et I et qui on
cherche de manière simple comment I est max.

44 J'en avais assy de chercher mais en visualisant
(toujours le principe de simplification max, de toute façon
plus le temps de faire autrement) j'ai repensé
à la taille de l'atome qu'ils font calculer.
C'est peut-être la réponse ...

Là j'ai terminé les 4 heures.

J'ai totalement ignoré la question orale 26.

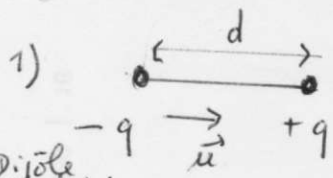
Je l'ai donc cherché hors du temps.

Je ne sais pas ce qu'ils attendent.

J'essaie quelque chose mais sans conviction.
J'écris quand même mon raisonnement (limite
hasardeux, certes, mais si jamais il y a un petit
chance de judicieux ---)

En tout cas j'en conclue que j'ai vraiment bien
fait de passer cette question, stratégiquement parlant.

En résumé : je n'ai pas répondu à beaucoup de questions indépendantes
on est arrêté nulle part et on a de quoi répondre
beaucoup de questions.



$$\vec{P} = qd \hat{u}$$

Dipôle électrique

- 2) Ex H-Cl ou H₂O eau
le moment dipolaire est de l'ordre du Debye ; or $1D = 1,6 \cdot 10^{-30}$ c.m.
donc $P \approx 10^{-29}$ c.m.

Pour l'eau ce doit être environ

$$P_{\text{eau}} \approx 1,5 \text{ D}$$

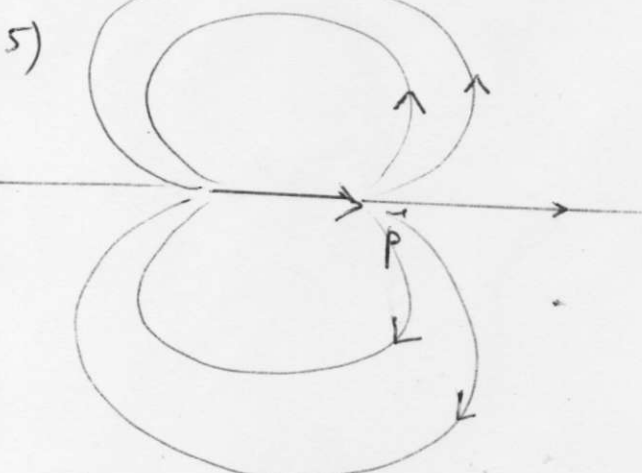
(à tout hasard; c'est entre 1 et 2 D)

- 3) Il se trouve à grande distance du dipôle si $0n \gg d$

$$4) V(r) = \frac{\vec{P} \cdot \vec{r}}{4\pi\epsilon_0 r^3} = \frac{P \cos\theta}{4\pi\epsilon_0 r^2}$$

$$\vec{E} = -\nabla V = \begin{cases} -\frac{\partial V}{\partial r} = \frac{2P \cos\theta}{4\pi\epsilon_0 r^3} \\ -\frac{1}{r} \frac{\partial V}{\partial \theta} = \frac{P \sin\theta}{4\pi\epsilon_0 r^2} \\ -\frac{1}{r^2} \frac{\partial V}{\partial \phi} = 0 \end{cases}$$

$$\vec{E} = \frac{P}{4\pi\epsilon_0 r^3} [2\cos\theta \hat{u}_r + \sin\theta \hat{u}_\theta]$$



- 5) Le champ extérieur va déplacer les charges + mobiles dans le sens de \vec{E}_{ext} , et les charges - en sens opposé, créant ainsi un dipôle

$$\begin{array}{ccc} \rightarrow & \vec{E}_{\text{ext}} & \vec{P} \parallel \vec{E}_{\text{ext}} \\ \ominus & \oplus & \text{dans sens} \end{array}$$

Il paraît normal que \vec{E}_{ext} n'est pas trop élevé, on est dans le cadre d'une linéarité ; F proportionnel à \vec{E}_{ext} .

$$\text{Ainsi } \vec{P} = \alpha \xi \vec{E}_{\text{ext}}$$

facteur de proportion

$$[\alpha] \sim \frac{[P]}{[\xi][E]} \sim \frac{[Q][L]}{[\xi][Q]} \sim \frac{[L]^3}{[L]^2}$$

d est un volume, en m³Comme précisé précédemment \vec{P} est dans le sens de \vec{E}_{ext} donc $\alpha > 0$

- 7) L'électron ressent le champ \vec{E}_{proton} du proton de l'atome H.

$$\vec{F} = -e \vec{E}_{\text{proton}}$$

Determinons \vec{E}_{proton} par le théorème de Gauss

a sphère uniformément chargée de charge totale e
Soit $\rho = \frac{e}{4\pi r^3}$ la densité volumique de charge.

Par symétrie (symétrie de révolution sphérique), \vec{E}_{proton} est radial $\parallel \hat{u}_r$

L'invariance de la résultante selon θ et ϕ mène à $E_{\text{proton}}(r)$

$$\{ E_{\text{proton}} = E_{\text{proton}}(r) \hat{u}_r \}$$



sphère de Gauss de rayon r

Th de Gauss $\oint \vec{E} \cdot d\vec{s} = \frac{q_{\text{int}}}{\epsilon_0}$
soit $E_{\text{proton}}(r) 4\pi r^2 = \frac{q_{\text{int}}}{3\epsilon_0 r^3}$

$$\rightarrow \vec{E}_{\text{proton}}(1) = \frac{p_{\text{proton}}}{3\epsilon_0} = \frac{e r}{4\pi\epsilon_0 a^3} \vec{u}_x$$

dans $\boxed{\vec{F} = -\frac{e^2 r}{4\pi\epsilon_0 a^3} \vec{u}_x}$

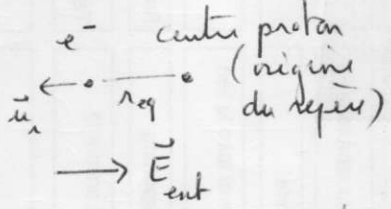
Cette force est linéaire (proportionnelle à r) et déplace l' e^- en sens inverse de \vec{E}_{proton} .

8) L'électron subit alors un résultante $\vec{F} - e \vec{E}_{\text{ext}}$ qui à l'équilibre doit être nulle.

Ainsi $-\frac{e^2 r_{eq}}{4\pi\epsilon_0 a^3} \vec{u}_x - e \vec{E}_{\text{ext}} = 0$

et $\boxed{r_{eq} = -\frac{E_{\text{ext}} 4\pi\epsilon_0 a^3}{e}}$

9) Schéma



on a donc un dipôle et son moment dipolaire $\vec{P} = e r_{eq} (-\vec{u}_x)$

soit $\vec{P} = 4\pi\epsilon_0 a^3 \vec{E}_{\text{ext}}$

d'où $\boxed{\alpha = 4\pi a^3}$ et l'on sait que \vec{E}_{ext} est homogène à un volume

10) Un atome 1 de Rubidium peut créer un champ \vec{E}_1 inhomogène qui sera considéré par un atome 2 de Rubidium comme champ extérieur. Ainsi l'atome 2 va induire un moment dipolaire P_2 . Et vice versa

11) Enoncé: $E_p = -\vec{P}_2 \cdot \vec{E}_1$ énergie potentielle du dipôle P_2 dans le champ extérieur \vec{E}_1 qu'il subit.

Déf. $\vec{F}_{1/2} = -dE_p$ où d est le déplacement de \vec{P}_2 / \vec{P}_1 .

$$= +\vec{P}_2 \cdot \vec{E}_1$$

Etant donné le schéma de fig 2, les forces, les moments dipolaires, les

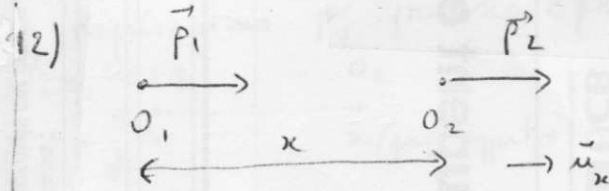
champs \vec{E} sont tous $\parallel \vec{u}_x$ (2)

Donc le déplacement aussi (en supposant aucune vitesse initiale non $\parallel \vec{u}_x$) alors $\vec{F}_{1/2} \cdot d\vec{x}_2 = F_{1/2} \cdot dx_2$

et $F_{1/2} = p_2 \frac{dE_1}{dx}$ algébriquement

dans $\boxed{\vec{F}_{1/2} = p_2 \cdot \frac{dE_1}{dx} \vec{u}_x}$ (OK)

Dans l'énoncé, ils écrivent $\frac{dE_1}{dx}$; $x = x_2$ est bien l'absisse au niveau de p_2 .



$$\vec{F}_{1/2} = p_2 \frac{dE_1}{dx} \vec{u}_x$$

On E_1 est le champ créé par p_1 en O_2

$$\text{cf 3)} \quad E_1 = \frac{p_1 \cdot 2}{4\pi\epsilon_0 x^3} \cos 0^\circ \vec{u}_x$$

mais p_1 est induit par E_2 champ créé par p_2 en O_1 .

$$\vec{p}_1 = \alpha \vec{E}_2 \quad \text{avec } \vec{E}_2 = \frac{p_2 \cdot 2 \cos 0^\circ}{4\pi\epsilon_0 x^3} \vec{u}_x$$

soit $\vec{p}_1 = \alpha \epsilon_0 \frac{p_2 \cdot 2}{4\pi\epsilon_0 x^3} \vec{u}_x$ (m sens que \vec{p}_2)

$$\text{Ainsi } E_1 = \frac{\alpha \epsilon_0 p_2 \cdot 2}{4\pi\epsilon_0 x^3} \frac{2}{4\pi\epsilon_0 x^3} \quad (\text{algébriqu})$$

$$E_1 = \frac{\alpha p_2}{\pi \cdot 4\pi\epsilon_0 x^6} \rightarrow \frac{dE_1}{dx} = \frac{\alpha p_2}{\pi \cdot 4\pi\epsilon_0 x^7} \left(-\frac{6}{x}\right)$$

$$\boxed{\vec{F}_{1/2} = -\frac{6\alpha p_2^2}{\pi \cdot 4\pi\epsilon_0 x^7} \vec{u}_x}$$

Force en $1/x^7$ (OK)

13) $K < 0 \Rightarrow$ cette force est attirante

$$\begin{array}{ccccc} -q_1 & +q_1 & & -q_2 & +q_2 \\ \bullet & \bullet & d_1 & \bullet & \bullet \\ & & & & \end{array}$$

$d_1 < d_2$
La distance entre charges opposées est + petite que celle entre charges de m natures

$$14) \frac{dE}{P_{1/2}} = -\vec{F}_{1/2} \cdot d\vec{x} \vec{u}_n = -\frac{K}{x^7} dx$$

$\rightarrow E = \frac{1}{6} \frac{K}{x^6}$ à une constante près
 $K < 0$

on peut donc bien écrire $E_p = -\frac{A}{x^6}$
 où $A > 0$

15) Je ne vois pas trop la réponse souhaitée.
 Force centrale en $\frac{1}{r^2} \Rightarrow$ ellipse

Bohr $\Rightarrow E_m$ varie lors d'émission ou absorption
 Or E_m varie selon l'éloignement

Pour que $E_m = \text{cte}$, il faut $r = \text{cte}$

Cette réponse suffit. Elle, je ne sais pas.

16) TNc à l' e^- /centre

$$\frac{d\vec{L}}{dt} = \vec{M}_o$$

$$\frac{d(m_e \vec{v} \times \vec{r})}{dt} = \vec{M}_o \quad \text{ou } \vec{p} \parallel \vec{r} \text{ (centrale)}$$

$$\frac{d\vec{L}}{dt} = \vec{0} \quad \text{dans } \boxed{\vec{L} = \vec{cte}}$$

17) Semi-quantique parce que le moment cinétique est quantifié

Semi-classique car la trajectoire de l' e^- est circulaire

$$18) \text{PFD : } m_e \left(\frac{v^2}{r} \right) = \frac{e^2}{4\pi\epsilon_0 r^2}$$

$$\text{Bohr : } L = nh$$

$$\text{Moment cinétique } L = m_e r v$$

$$\text{Eléments } v^2 = \frac{e^2}{m_e 4\pi\epsilon_0 r}$$

$$\text{d'où } L = m_e \frac{e^2}{(m_e 4\pi\epsilon_0 r)^{1/2}} r = nh$$

$$\rightarrow r = \frac{n^2 h^2}{m_e^2} \frac{m_e 4\pi\epsilon_0}{e^2} = n^2 \frac{h^2}{m_e e^2} 4\pi\epsilon_0$$

On a bien $r_n = n^2 a_0$ avec

$$a_0 = \frac{h^2 4\pi\epsilon_0}{m_e e^2}$$

énergie $E_0 = 52,92 \text{ pm}$

$$19) E_n = E_{C_n} + E_{P_n} = \frac{1}{2} m_e v_n^2 - \frac{e^2}{4\pi\epsilon_0 r_n}$$

$$E_n = \frac{1}{2} \frac{e^2}{4\pi\epsilon_0 r_n} - \frac{e^2}{4\pi\epsilon_0 r_n} = -\frac{1}{2} \frac{e^2}{4\pi\epsilon_0 r_n}$$

$$E_n = -\frac{1}{2} \frac{e^2}{4\pi\epsilon_0 r_n^2} = -\frac{E_1}{n^2}$$

ou $\boxed{E_1 = \frac{e^2}{8\pi\epsilon_0 a_0}}$

$$\text{AN : } E_1 = \frac{1,602 \times 10^{-19} \text{ eV}}{8\pi \cdot 8,85 \times 10^{-12} \times 52,92 \times 10^{-12} \times 1,602 \times 10^{-19}}$$

$$\underline{E_1 = 13,6 \text{ eV}} \quad (\text{valeur connue})$$

20) L' e^- -arraché de l'atome lui confère le niveau $n \rightarrow \infty$ d'où une énergie nulle

Pour passer de $-E_1$ à 0 c'est en arrachant l' e^- au en ionisant l'atome, il faut lui apporter cette énergie E_1 .
 E_1 s'appelle donc "énergie d'ionisation"

$$\boxed{n_{100}^2 = 100 a_0^2}$$

$$21)$$

$$\text{AN } n_{100} = 52,92 \times 10^{-8} \text{ m}$$

$$22) E_{100} = -\frac{E_1}{100^2}$$

$$E_{100} = -\frac{E_1}{100^2} \quad n=100 \quad E_{100} + E_1 = \frac{hc}{\lambda}$$

$$-\underline{E_1} \quad n=1$$

$$\boxed{\lambda = \frac{hc}{E_{100} + E_1}}$$

$$\text{AN } \lambda = \frac{6,626 \times 10^{-34} \times 2,998 \times 10^8}{13,6 + 1,602 \times 10^{-15} \left(-\frac{1}{100^2} + 1 \right)}$$

$$\lambda = 0,9 \times 10^{-7} \text{ m} \approx 9 \times 10^{-8} \text{ m}$$

3) Le noyau contient 11 protons comme le nombre d'électrons.
 Si 10 électrons restent très proches du noyau, cela revient à une charge centrale ≈ 1 proton.
 On a donc affaire (presque) à 1 (atome de valence, bête) dans le champ d'1 proton. Les niveaux d'énergie de ce système sont très voisins de ceux de H.

24) Si on raisonne "bêtement"
 par la taille de l'atome (très gros ne passera pas)
 $n \approx 1$, $r_n \approx 1$ donc finit par ne plus pouvoir passer.

Si on raisonne comme pour un réseau optique, avec la dualité onde-corpuscule
 $E = h\nu = \frac{hc}{\lambda}$
 E_1 correspond à $\lambda_1 = \frac{hc}{E_1} = 9 \cdot 10^{-8} \text{ m}$
 E_{100} correspond à $\lambda_{100} = 100^2 \lambda_1 = 9 \cdot 10^{-6} \text{ m}$
 $\lambda_{100} \gg 2 \mu\text{m}$ donc non transmis, comme en optique.

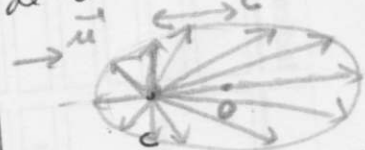
25) Proposons l'estimation suivante : transmission acceptable au-delà de 50%
 le graphique nous donne $n^2 < 2000$
 Si on imagine un modèle simple
 Si on imagine que rien ne passe pas de taille, très gros ne passe pas on remarque que pour passer il faut que $r_n < 2 \mu\text{m}$.
 soit $n^2 = r_n^2 / a$.

$$\text{soit } n^2 < \frac{2}{a} = \frac{2}{52 \cdot 10^{-12}} = 10^{10}$$

$$\text{Calcul: } n < 2 \cdot 10^5$$

On le graphique montre une transmission de 50% pour $n^2 \approx 1700$
 soit $n \approx 40$ qui est du tout le même ordre de grandeur

26) $p = \alpha \varepsilon_0 E$ mais on donne pas E intérieur. Il faut donc s'en abstenir et penser à la définition $\vec{p} = -e\vec{J}$ où \vec{J}

Si $\ell = n$ \vec{J} prend toutes les directions ce qui confère en moyenne $\vec{p} = \vec{0}$
 Par contre quand $\ell \leq n-1$, la moyenne de \vec{J} ne sera pas nulle

 clairement, par symétrie
 $\langle \vec{p} \rangle = -e \langle \vec{J} \rangle // \vec{u}$

Choisissons (arbitrairement) $\ell = n-1$ pour ne pas rentrer dans des phénomènes hors coulombiens, alors l'excéntricité

$$E = \sqrt{1 - \frac{(n-1)n}{n^2}} = \frac{1}{\sqrt{n}}$$

$$\text{et } c = \sum a = \frac{a}{\sqrt{n}}$$

On peut admettre que $\langle \vec{J} \rangle \approx 2c \hat{\vec{x}}$ intuitivement au regard du schéma ci-dessus.
 (D'ailleurs, c'est bien ce qu'on obtiendrait si $\Sigma = 1$ puisque l'ellipse se réduirait au segment FF').
 D'où $\langle p \rangle \approx e 2 \frac{a}{\sqrt{n}}$

Prenons $n = 5$ (comme vaguement proposé dans le doc 1)

$$\langle p \rangle = \frac{1,6 \times 2 \times 53 \times 10^{-12}}{\sqrt{5}} \text{ c.m}$$

$$\langle p \rangle = 7,5 \cdot 10^{-11} \text{ c.m} \quad \text{pour } n = 5 \quad \ell = 4$$

C'est un peu de de branillard je l'avoue!

Centrale PC 1 20

27) $\cos(\omega t - \theta_2)$ durant $\cos \omega t$
 la propagation est très rapide -
 Pour cela il faut que l'amplitude de vibration de l'électron soit très petite par rapport à la longueur d'onde

28) Onde électromagnétique dans le vide $\vec{B} = \frac{\vec{u}_z \wedge \vec{E}}{c}$ (\vec{u}_z direction de propagation)

$$\Rightarrow \vec{B} = \frac{\vec{u}_z \wedge E_0 \cos \omega t \vec{u}_z}{c} = \frac{E_0 \cos \omega t \vec{u}_y}{c}$$

Vecteur de Poynting : $\vec{R} = \frac{\vec{E} \wedge \vec{B}}{P_0}$

$$\vec{R} = \frac{E_0^2 \cos^2 \omega t \vec{u}_z \wedge \vec{u}_y}{P_0 c} = \frac{E_0^2 \cos^2 \omega t \vec{u}_z}{P_0 c}$$

$$\langle \vec{R} \rangle = \frac{E_0^2}{2 P_0 c} \vec{u}_z$$

Puissance par unité de surface moyennée ou bien

$$\langle P \rangle_s = \frac{E_0^2}{2 P_0 c}$$

29) Travailons en complexe :

$$E_0 \cos \omega t \rightarrow E_0 e^{j\omega t}$$

$$x_0 \cos(\omega t - \varphi) \rightarrow x_0 e^{j(\omega t - \varphi)}$$

$$\text{d'où } (-\omega^2 + j\gamma\omega + \omega_0^2) x_0 e^{-j\varphi} = -\frac{e E_0}{m_e}$$

Notons :

$$x_0 = \frac{e E_0}{m_e \sqrt{(\omega_0^2 - \omega^2)^2 + \gamma^2 \omega^2}}$$

$$e^{-j\varphi} = \frac{-\frac{e E_0}{m_e x_0}}{(\omega_0^2 - \omega^2) + j\gamma\omega}$$

$$\text{or } e^{j\varphi} = \frac{m_e x_0}{e E_0} \left((\omega_0^2 - \omega^2) - j\gamma\omega \right)$$

$$\tan \varphi = \frac{\gamma\omega}{\omega_0^2 - \omega^2} \quad \text{avec } \sin \varphi < 0$$

30) Il y a amortissement par le terme $\gamma \frac{dx}{dt}$.

31) Reprenons $\ddot{x} + \gamma \dot{x} + \omega_0^2 x = -\frac{e E_0 \cos \omega t}{m_e}$
 qui provient du PFD : $m_e \ddot{x} = \Sigma \text{forces}$
 La force d'amortissement est donc $-\gamma \dot{x} m_e$
 Sa puissance est $-m_e \gamma \dot{x}^2$

Avec $x = x_0 \cos(\omega t - \varphi)$

$$\dot{x} = -\omega x_0 \sin(\omega t - \varphi)$$

$$\dot{x}^2 = \omega^2 x_0^2 \sin^2(\omega t - \varphi)$$

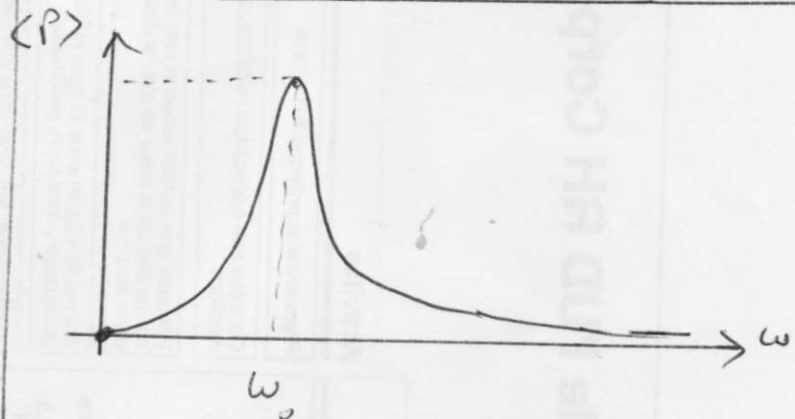
$$\langle \dot{x}^2 \rangle = \omega^2 x_0^2 \frac{1}{2}$$

$$\text{donc } \langle P \rangle_{\text{amortir}} = -m_e \gamma \frac{\omega^2 x_0^2}{2}$$

$$\text{et } \langle P \rangle_{\text{absorb}} = -\langle P \rangle_{\text{amortir}} = \frac{m_e \gamma \omega^2 x_0^2}{2} = \langle P \rangle$$

$$\text{En reprenant } x_0^2 : \langle P \rangle = \frac{\gamma e^2 E_0^2 \omega^2}{2 m_e ((\omega_0^2 - \omega^2)^2 + \gamma^2 \omega^2)}$$

$$\langle P \rangle = \frac{\gamma e^2 E_0^2}{2 m_e} \frac{1}{((\frac{\omega_0^2 - \omega}{\omega})^2 + \gamma^2)}$$



$$32) \text{ Pour } \omega = \omega_0, \quad x_0 = \frac{e E_0}{m_e \gamma \omega_0} \text{ et } \tan \varphi \rightarrow \infty$$

Comme $\varphi \in [-\pi, 0]$ cela donne $\varphi = -\frac{\pi}{2}$
 Pour ω_0 :

$$x_0 = \frac{e E_0}{m_e \gamma \omega_0} \cos(\omega_0 t + \frac{\pi}{2})$$

$$\text{soit } x = -\frac{e E_0}{m_e \gamma \omega_0} \sin \omega_0 t$$

$$v = \frac{dx}{dt} = -\frac{e E_0}{m_e \gamma} \cos \omega_0 t$$

$$33) F = -eE \text{ (on néglige } F_{\text{magnétique}})$$

$$\langle F \rangle = -e \langle E_0 \cos \omega_0 t \rangle = 0 !$$

Je pense qu'il faut tenir compte dans cette question de $F_{\text{mag}} = -e \vec{v} \times \vec{B}$ car

$$\vec{F}_{\text{mag}} = -e \vec{v} \times \vec{B} = + \frac{e^2 E_0 \cos \omega_0 t}{m_e \gamma} \frac{E_0 \cos \omega_0 t}{c^2 \gamma^2} \vec{y}$$

$$\vec{F}_{\text{mag}} = \frac{e^2 E_0^2}{m_e \gamma c} \cos^2 \omega_0 t \vec{u}_y$$

$$\langle \vec{F}_{\text{mag}} \rangle = \frac{e^2 E_0^2}{2 m_e \gamma c} \vec{u}_y$$

presque $I = \frac{E_0^2}{2 \rho_0 c}$ ou en 28)

$$34) \langle \vec{F}_{\text{mag}} \rangle = \frac{e^2 \rho_0}{m_e \gamma} I \vec{u}_y \parallel \vec{u}_y$$

et mais si on compare à (P) de 31)
 $\langle P_{(w_0)} \rangle = \frac{\gamma e^2 E_0^2}{2 m_e \gamma^2} \text{ et } \langle \vec{F}_{\text{mag}} \rangle = \langle P_{(w_0)} \rangle$

origine e^-
 proton

$$35) \quad \leftarrow \vec{p} = e \vec{x} (-\vec{u}_x)$$

$$\vec{p} = + \frac{e^2 E_0 \cos \omega_0 t \vec{u}_x}{m_e \sqrt{(\omega_0^2 - \omega^2)^2 + 8^2 \omega^2}}$$

$$\sqrt{(\omega_0^2 - \omega^2)^2 + 8^2 \omega^2} \approx \sqrt{\Delta^2 (\omega_0^2 + \omega^2)}$$

$$\approx \Delta (\omega_0 + \omega)$$

$$\Rightarrow \vec{p} = + \frac{e^2 E_0 \cos \omega_0 t \vec{u}_x}{m_e \Delta (\omega_0 + \omega)}$$

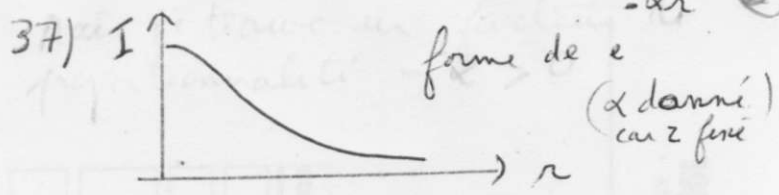
Avec $\vec{p} = \alpha \sum \vec{E}$ on déduit

$$\alpha = - \frac{e^2}{m_e \epsilon_0 \Delta (\omega_0 + \omega)} \quad \times 0$$

$$36) \quad E_p = - \vec{p} \cdot \vec{E} = - \alpha \sum E^2$$

$$\langle E_p \rangle = - \alpha \sum \langle E^2 \rangle = - \alpha \sum \frac{E_0^2}{2}$$

On I du laser est proportionnel à E_0^2
 donc $\langle E_p \rangle$ proportionnel à I
 le facteur de proportion est $- \alpha < 0$



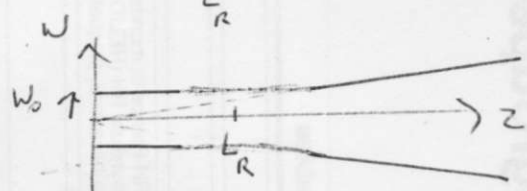
37) forme de $e^{-\frac{r}{r_0}}$ (à donner)
 car r finie

$$38) W$$
 s'appelle le waist (largeur)
 $W(z)$ représente la largeur du faisceau laser. Elle augmente avec z à partir de la divergence du faisceau

$$39) W(z) = W_0 \sqrt{1 + \frac{z^2}{L_R^2}}$$

$$W(z) \approx W_0 \text{ pour } z \ll L_R \text{ constant}$$

$$W(z) \approx W_0 \frac{z}{L_R} \text{ pour } z \gg L_R \text{ linéaire}$$



$$40) \text{ Enoncé: } L_R = \frac{\pi W_0}{\lambda} \Rightarrow \frac{\lambda}{\pi W_0} = \frac{W_0}{L_R}$$

$\frac{\lambda}{\pi W_0}$ représente la fente du faisceau laser dans sa partie divergente.
 Cette fente est en général très faible ; c'est donc aussi l'angle de divergence.
 Diffraction par un trou de dimension W_0 .
 L'angle de la branche centrale diffractée est de l'ordre de $\frac{\lambda}{W_0}$.

les ordres de grandeurs sont similaires.
 On peut associer la divergence du laser à l'auto-diffraction.

41) La longueur de Rayleigh correspond à la distance où le faisceau demeure cylindrique

42) On a vu que l'énergie potentielle était égale à l'intensité laser à un facteur très négatif (cf 36)

Donc E_p est minimale si I est maximale

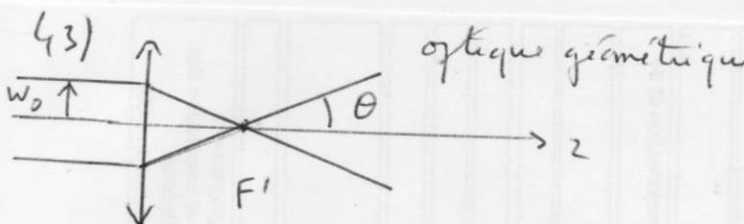
Vu la courbe $I(r)$ en 37) on a I max en $r=0$

$$\text{Alors } I(0, z) = I_0 \left(\frac{W_0}{W(z)} \right)^2 = I_0 \left(\frac{W_0}{W(z)} \right)^2$$

$I(0, z) \uparrow$ si $W(z) \downarrow$ le min de $W(z)$ est en $z=0$
 La position d'équilibre de l'atome

est donc sur l'axe du faisceau au moment où le faisceau est le plus mince.

Cette position doit être stable car E_p est minimale



Le faisceau diverge de θ tel que
 $\tan \theta = \frac{w_0}{f'}$

Cela doit correspondre à la pente signalée par la divergence en 40)

$$\frac{\lambda}{\pi W_0} = \frac{W_0}{f'}$$

Dans le plan focal, le rayon W' du faisceau est tel que $W'_0 = \frac{\lambda f'}{\pi W_0}$

Le diamètre $2W'_0 = \frac{2\lambda f'}{\pi W_0}$

AN $\underline{EW'_0} = \frac{2 \times 850}{\pi} = 541 \text{ nm}$

44) On a vu que le rayon de l'atome de Rydberg était de 530 nm (cf 21) pour $n = 100$.

C'est donc difficile d'en placer 2 ; celui-ci déborde déjà tout seul.

E_p ne dépend pas de n selon une loi simple en n^α .

45) Se placer à très basse T° pour éviter l'agitation thermique
 Se placer à très basse pression pour éviter les collisions

46) Question 14 : $E_p = -\frac{A}{n^6}$ où $-A$

Echelle log-log : $\log E_p = ct - b \log d$

Calculons la pente de la courbe (éloignage par ex) $\frac{\log 12 - \log 1}{\log 5,6 - \log 14} \approx -5,2$
 Pente $\approx \frac{\log 5,6 - \log 14}{\log 12 - \log 1} \approx -5,2$

Ce n'est pas si mal, assez proche de -6 les résultats de ces courbes sont plutôt en accord avec $E_p = -\frac{A}{n^6}$.

47) Pour $\frac{U}{R}$ tel que $\log \frac{U}{R} = 10$

Courbe bleue $d_B = 3,2 \mu\text{m}$

rouge $d_R = 6,2 \mu\text{m}$

vert $d_V = 9,8 \mu\text{m}$

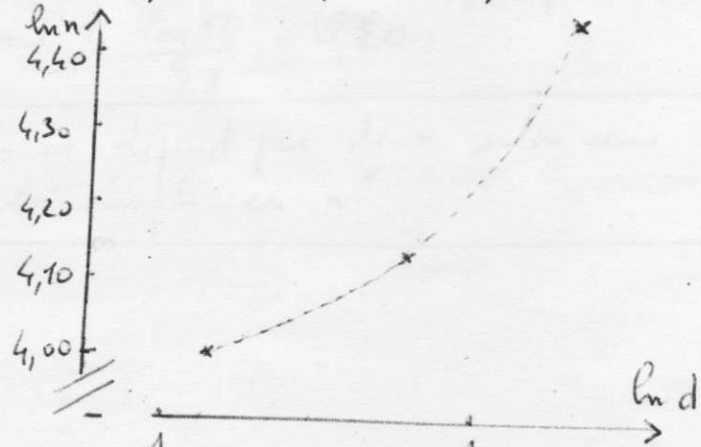
Supposons une loi $E_p = \frac{n^\alpha}{d^6}$

On aurait $\log E_p = \alpha \log n - 6 \log d$
 ou bien $\ln E_p = \alpha \ln n - 6 \ln d$

à U constant $\ln n = \frac{6}{\alpha} \ln d + \frac{\ln E_p}{\alpha}$

sont une droite affine pour $\ln n$ en fonction de $\ln d$

n	53	62	82
$\ln n$	4,00	4,13	4,41
$d (\mu\text{m})$	3,2	6,2	9,8
$\ln d$	1,16	1,82	2,28



Tendance non linéaire.